

ТЕХНИЧЕСКИЕ НАУКИ

УДК 621.316:176.681.3

Демин Юрий Ильич, Киркоров Олег Робертович

ИССЛЕДОВАНИЯ АВАРИЙНЫХ ПЕРЕХОДНЫХ ПРОЦЕССОВ В СИСТЕМАХ ЭЛЕКТРОСНАБЖЕНИЯ 6-10 КВ С ТИРИСТОРНЫМИ ВЫКЛЮЧАТЕЛЯМИ

В статье рассмотрены условия и алгоритмы применения тиристорных выключателей для повышения надежности работы систем электроснабжения 6–10 кВ (СЭС) в аварийных режимах: при перерывах питания и коротких замыканиях (КЗ). Определены наиболее перспективные схемы включения тиристорных выключателей в состав одно- и двухсекционной СЭС. Это бесконтактное распредустройство (БРУ), тиристорный короткозамыкатель (ТОУ) и тиристорный автоматический ввод резерва (АВР). Приведены результаты элементов численного эксперимента, полученного с помощью программы САПР — СЭС для ЭВМ, разработанной в СКФУ. Сделаны выводы о допустимости применения тиристорных выключателей для повышения надежности электроснабжения в нормальных и аварийных режимах.

Ключевые слова: тиристорный короткозамыкатель и ABP, бесконтактное распредустройство, система электроснабжения.

Yuri Dyomin, Oleg Kirkorov RESEARCH EMERGENCY TRANSIENTS IN POWER SYSTEMS 6 – 10 KV WITH THE THYRISTOR SWITCHES

The conditions and the algorithms of thyristor switches to improve the reliability of power supply system 6-10~kV (SES) in emergency conditions: when power interruptions and short circuits (a short circuit). The most promising circuit for the thyristor switches in the composition of one – and two-piece SES. It is non-contact switchgear (BRU), thyristor shorting (TOU) and thyristor automatic transfer switch (ATS). The results of the elements of the numerical experiment, obtained with CAD program – SES computer, developed at the NCFU. Conclusions about the permissibility of the use of thyristor switches to improve the reliability of power supply in normal and emergency modes.

Key words: thyristor shorting and ATS, contactless switchgear, power supply system.

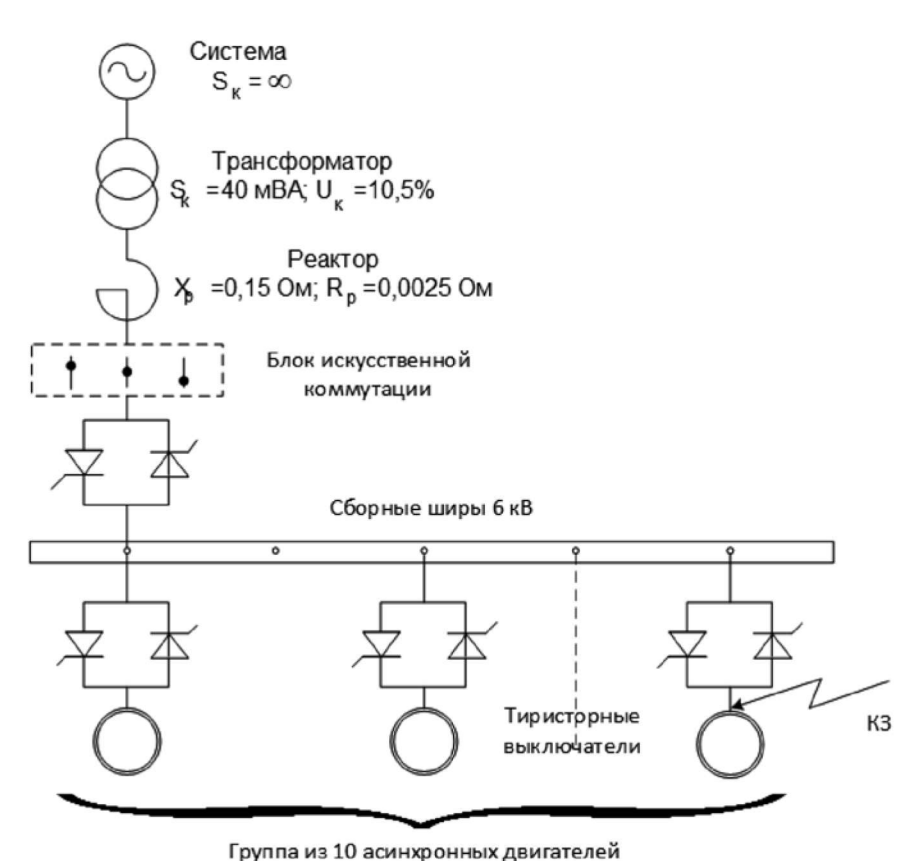
В настоящее время большинство СЭС, в первую очередь в России, оснащены выключателями, имеющими ряд существенных недостатков: необходимость достаточно сложного обслуживания, большие промежутки коммутаций, значительные коммутационные перенапряжения и т. п. Вынужденное разделение СЭС при КЗ на части приводит к резкому ухудшению параметров качества электроэнергии, увеличению потерь в сетях, не позволяет обеспечивать пуски и самозапуски двигателей основных технологий, усложняет построение сетей за счет установки в них реакторов, увеличения мощности устройств коммутации и т. п. Электроприемники СЭС, как правило, нуждаются в регулировании мощности в нормальных и пусковых режимах. Кратковременные перерывы электроснабжения (даже не более 0,2 сек) приводят к расстройству технологических процессов и большому экономическому ущербу. Многие из вышеперечисленных проблем можно решить с помощью применения в СЭС тиристорных выключателей (ТВ), обеспечивающих возможность бестоковой коммутации, синхронного управления, токоограничения и регулирования мощности [1]. Наиболее перспективные исследования в области разработки и применения ТВ получены в Институте энергетической



электроники СПб (ИЭЭ) [1]: бесконтактное распредустройство (БРУ), в котором все традиционные выключатели заменены ТВ; тиристорный короткозамыкатель (ТОУ), осуществляющий режимы токоограничения в цикле искусственного КЗ по специальному алгоритму с помощью ТВ [1]; тиристорный автоматический ввод резерва (ТАВР), осуществляющий подпитку места КЗ до его отключения ТВ (либо при потере питания одной секции) и ввода резерва, работающим параллельно межсекционному выключателю ТВ [1].

ТВ в СЭС в основном не допускают применения существующих методик расчета процессов при проектировании и эксплуатации таких систем, поэтому необходимо проводить исследования математических моделей, реализованных на ЭВМ. Ввиду актуальности включения названных устройств в СЭС рассмотрим алгоритмы и порядок их функционирования на основе исследований, которые осуществлены с помощью программы САПР – СЭС, разработанной в СКФУ и СПбПУ Петра Великого [2]. Представленный материал базируется на основных положениях, математической модели и программы САПР – СЭС, поэтому дан с учетом принятой там терминологии, математических объектов и расчетных схем [2].

1. БРУ. СЭС с ТВ имеет две модификации БРУ [3]: с общим блоком принудительной коммутации и без него. Наиболее простым и надежным является вариант, полученный при отказе от блока искусственной коммутации (рис. 1). Данная схема позволяет решить многие вопросы технологического характера в нормальных режимах, а также достаточно быстро ликвидировать КЗ в цикле естественной коммутации. Таким образом, проводим исследования БРУ без блока искусственной коммутации при ликвидации КЗ за счет применения различных способов его управления.



труппа из 10 асинхронных двигателей Типа ДА 304-400-4У1 (Р=0,5 мВт)

Рис. 1. Исходная схема СЭС с БРУ



Исследуемая СЭС с БРУ (рис. 1) используется для электроприемников с частыми коммутациями и требует регулирования электрических параметров. Такими электроприемниками являются часто коммутируемые асинхронные двигатели (АД) [4], в частности электродвигатели дробилок обогатительных фабрик. Коммутация указанных АД требует обеспечения «мягкого» подключения к питающим сетям.

Исследовались системные и параметрические режимы БРУ. В зависимости от места подключения источника питания подлежат исследованию три вида управления БРУ (рис. 1) при аварии: 1) блокируются ИУ ТВ фидера с КЗ; 2) блокируются ИУ системного ТВ, а в цикле АПВ сборные шины (СШ) — отключается ТВ фидера с КЗ при срабатывании отсечки релейной защиты. К параметрическим можно отнести способы, при которых ИУ подаются на ТВ единообразно как в нормальном, так и в аварийном режимах работы СЭС. Для этих целей использованы методы управления углами зажигания тиристоров ТВ, соизмеримыми с углом нагрузки φ_n . Учитывая технологические колебания φ_n ПС, можно подавать ИУ на ТВ с углом зажигания, имеющим постоянную ширину, равную $\beta = \varphi_n + \Delta \varphi$; $\beta \leq 90$; (1)

где $\Delta \phi$ – допуск, учитывающий технологические изменения в нормальном режиме работы СЭС.

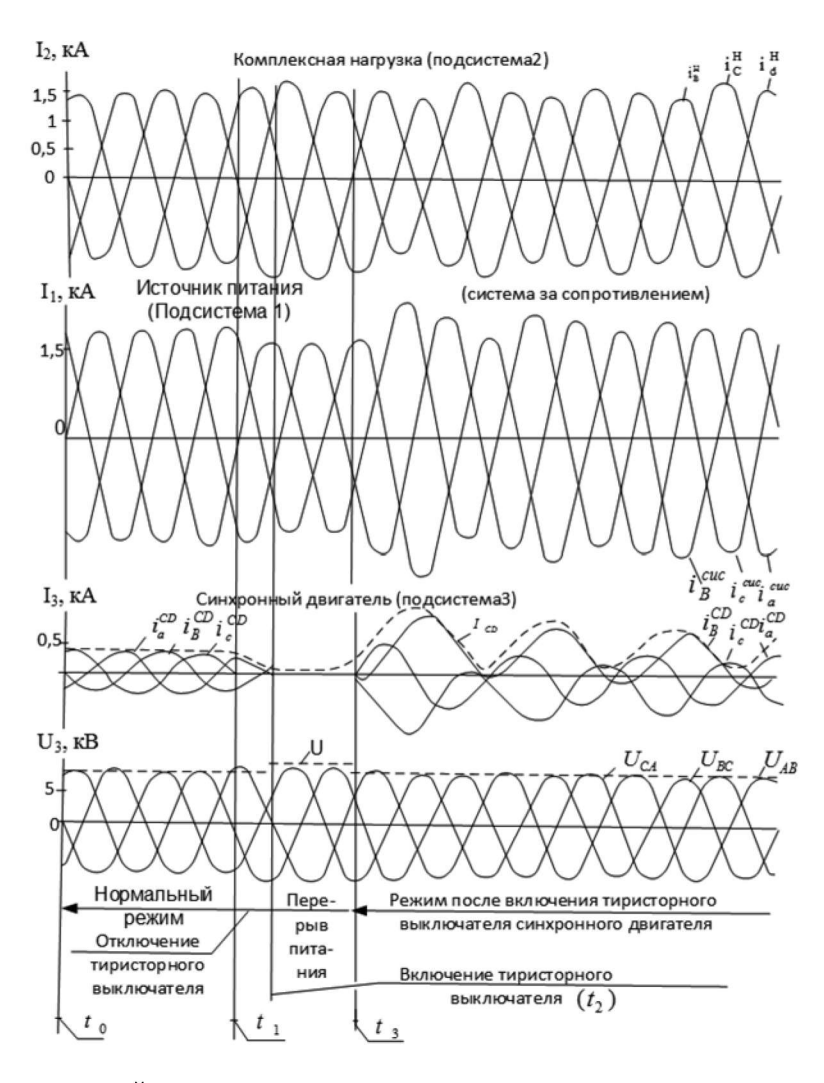


Рис. 2. Процесс, возникающий при кратковременном перерыве питания синхронного двигателя в СЭС с БРУ



Для исследований выбраны АД (СД) с мощностями 1; 0,5; 0,4; 0,25 (2,5) МВт с подключением к СШ по 5-10 штук (кроме фидера с КЗ, к которому подключен один АД. На рис. 2-4 приведены примеры расчетных осциллограмм для режимов потери питания и КЗ в СЭС с БРУ и АД (синхронными двигателями). Расчеты процессов при различных уставках срабатывания устройства управления БРУ в режимах АПВ и блокировки ИУ по току через ТВ показали, что для заданной схемы СЭС (рис. 1) в качестве уставки необходимо выбирать производные токов. Характерной особенностью работы БРУ в режиме регулирования, обнаруженной в процессе численного эксперимента, являются практически идентичные процессы, возникающие при различных способах управления углов В. В нормальных условиях (до K3) БРУ устойчиво работает как при постоянном, так и при переменном $\Delta \varphi$ (1). Первый случай, для рассмотренной нагрузки, обоснован при углах (5-10)°. Автоматическое регулирование $\Delta \phi$ при соблюдении соотношения (1) – достаточно гибкая система, обеспечивающая надежную работу БРУ в нормальных условиях для широкого диапазона изменения характера нагрузок. Тем не менее при аварии этот способ по степени оперативности локализации КЗ ничем не отличается от случая, при котором угол β постоянен. Для практики можно рекомендовать выбор такой системы регулирования в, которая бы позволяла обеспечивать надёжное функционирование БРУ в нормальных режимах работы. Исследования процессов проводились без учета конкретного способа управления БРУ.

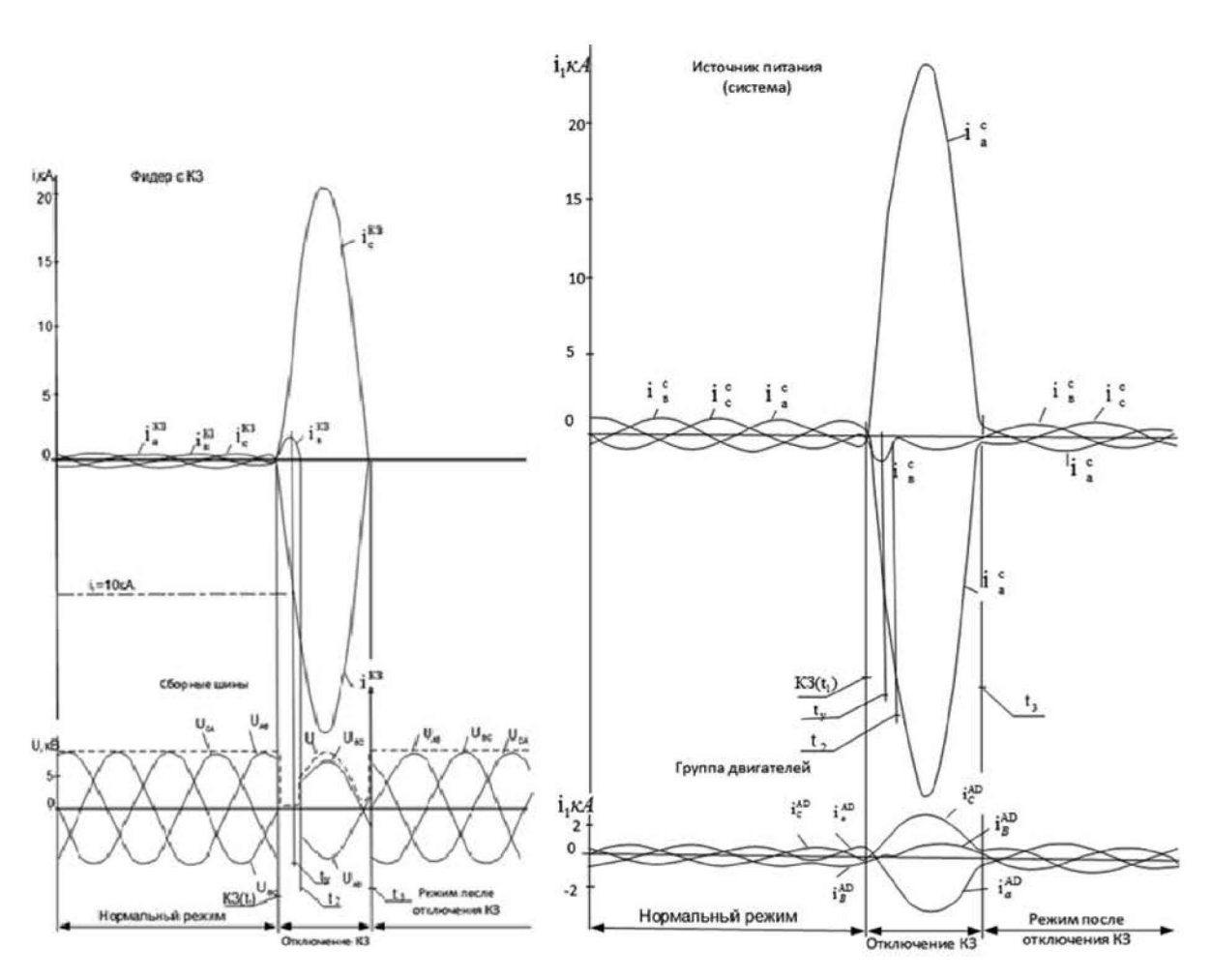


Рис. 3. Процесс отключения трехфазного КЗ в СЭС с БРУ

Рис. 4. Процесс отключения трехфазного КЗ в СЭС с БРУ и группой АД



- 2. ТОУ (рис. 5). Принцип работы ТОУ основывается на сверхбыстром включении ТВ сопротивления в момент возникновения КЗ [1]. Отвод токов КЗ на короткозамыкатель облегчает условия отключения и функционирования коммутационных элементов СЭС. В системах с контактной аппаратурой количество включений ТОУ связано с числом ступеней релейной защиты. Например, в случае одной ступени релейной защиты производятся два включения [1]:
 - первое, в течение одного-двух периодов промышленной частоты (после обнаружения КЗ), для ограничения ударных токов;
 - второе, с задержкой на известный интервал действия релейной защиты фидера с КЗ на время работы привода защищаемого выключателя (для ограничения токов отключения этого аппарата).

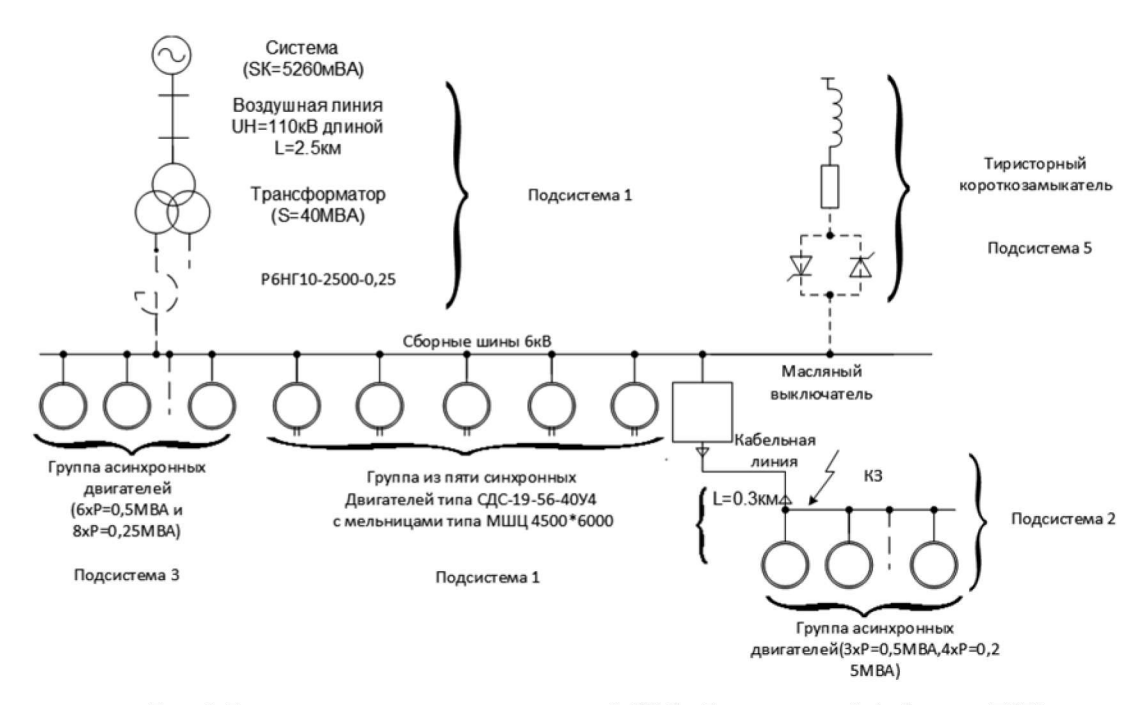


Рис. 5. Расчетная схема реконструируемой СЭС обогатительной фабрики с ТОУ

Исследуем процессы с помощью САПР – СЭС в реконструируемой СЭС обогатительной фабрики комбината «Печенганикель» с ТОУ (рис. 5). Расчетные осциллограммы приведены на рис. 6, 7. В момент времени tкз происходит трехфазное КЗ за сопротивлением кабельной линии. При превышении током системного фидера уставки срабатывания, равной 27 кА, в момент времени ty производится первое включение ТОУ (tоткл...tвкл...tп), осуществляемое для ограничения ударных токов (рис. 6). При этом ударный ток в выключателе защищаемого фидера не превышает 22,5 кА. Величины периодических составляющих и ударных токов КЗ через контактный выключатель в аналогичных режимах работы СЭС и при отсутствии короткозамыкателя, определенные с помощью САПР — СЭС, соответственно равны 24,5кА; 65,4кА.

Таким образом, при первом включении короткозамыкателя достигается высокая степень (минимум 2,9-кратная степень) токоограничения (рис. 6). В момент времени tоткл происходит первое отключение короткозамыкателя. Длительность первого подключения составляла 1,5 периода промышленной частоты. Срабатывание релейной защиты фидера с КЗ происходит в промежутке времени (toтк....tвк). В момент времени tвк второй раз включается тиристорный короткозамыкатель. Его окончательное отключение происходит в момент tc, т. е. после локализации КЗ (tп). Действующий ток



в фидере защищаемого выключателя не превышает допустимой величины и в момент отключения находится в пределах 7 кА. В процессе функционирования через тиристорный выключатель короткозамыкателя отводится ток с амплитудой, равной 24 кА. При втором подключении ТОУ средний коэффициент токоограничения равен 3,5.

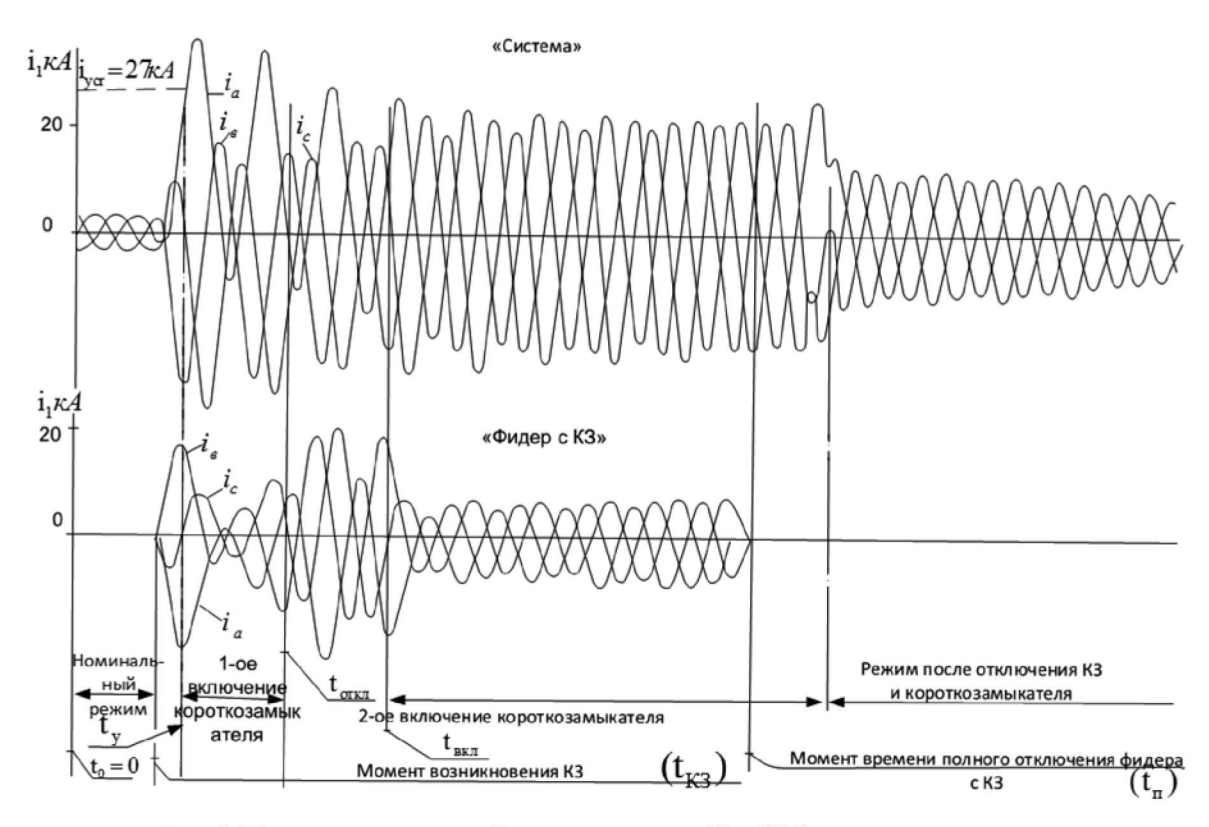


Рис. 6. Процесс, возникающий при отключении КЗ в СЭС с короткозамыкателем

Рассмотрим особенности процессов в синхронных двигателях при КЗ с действием ТОУ (рис. 7). Синхронные двигатели, подключенные на сборные шины, сохраняют устойчивую работу без осуществления разгрузки и гашеная поля, т.к. скольжение ротора при рассматриваемой длительности КЗ Δ tкз= 0,18 с не превышает допустимой величины. В процессе КЗ и действия тиристорного короткозамыкателя срабатывает форсировка возбуждения. Кратность форсировки для напряжения возбуждения Uf равна 1,4. Все это способствует подъему уровня остаточного напряжения на сборных шинах СЭС. Максимальные колебания электромагнитного момента двигателей в переходном процессе составляют 22 % от допустимых, вычисленных при наихудших условиях повторного включения. Средний ток несинхронного включения Ісд (рис. 7) двигателей не превышает 1,7 от пускового, т. е. величины 20 кА. Это свидетельствует о допустимости самозапуска двигателе.

На первом качании угол δ сд (рис. 7) двигателей достигает максимальной величины, равной 105° , поэтому после ликвидации аварии они не выпадают из синхронизма. Восстановление питания после отключения КЗ в СЭС сопровождается повышением напряжения сборных шин, обусловленным действием форсировки возбуждения и несинхронным включением двигателей. В дальнейшем процесс затухает. Приведенный анализ подтверждается тем, что величина предельного времени отключения КЗ t_{nep} , при котором обеспечивается 100% вероятность самозапуска рассматриваемых синхронных двигателей не превышает Δ tкз. Предельное время рассчитывается по выражению:



$$t_{_{NED}} = (U_{_{C}} / M_{_{Mex}}) \cdot \sqrt{M_{_{M}} \cdot T_{_{j}}} = 0,236 c,$$
 (2)

где $U_c = 1,05; M_{\text{мех}} = 1$ — соответственно напряжение системы и момент сопротивления на валу двигателей (номинальный), в о. е.; $T_j = 2000$ рад; $M_{\text{м}} = 2,5$ — параметры синхронного двигателя.

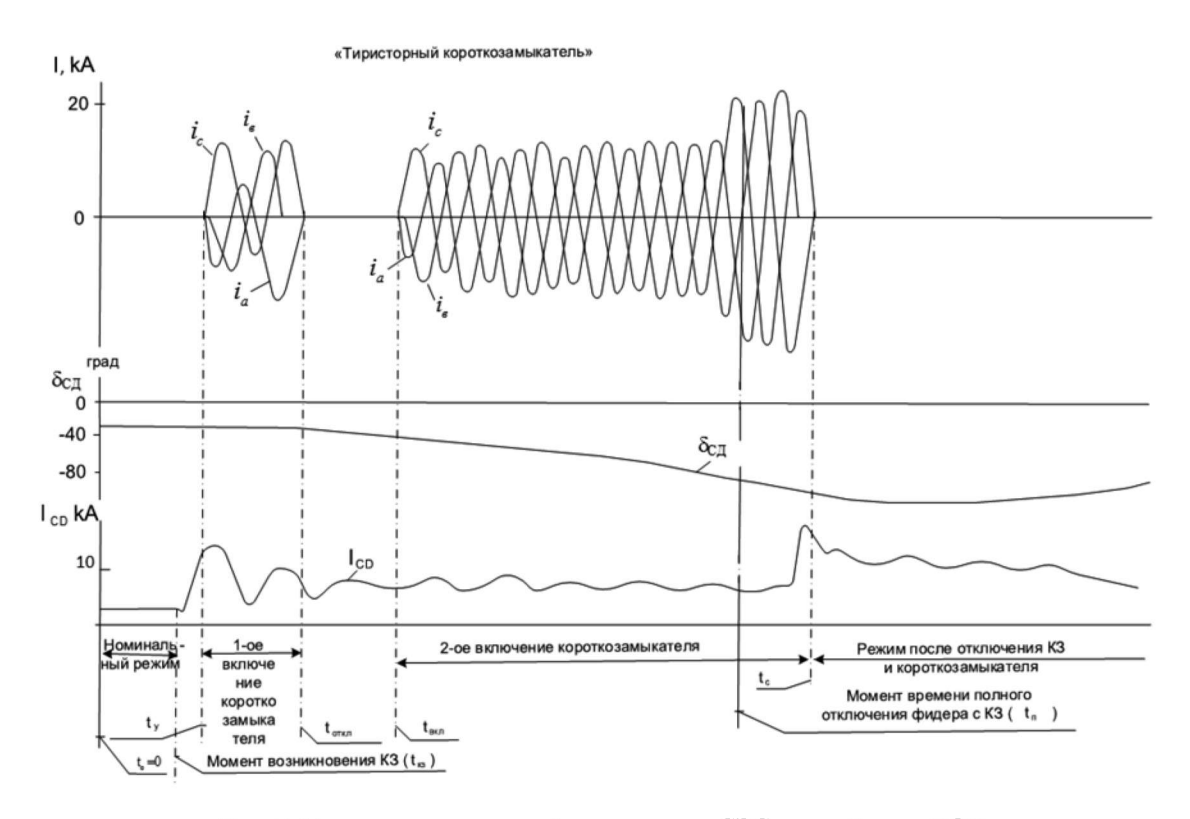


Рис. 7. Процесс, возникающий в двигателях СЭС при действии ТОУ

3. ТАВР. Наиболее характерными случаями потерь питания любой из рассматриваемых секций являются отключения питания выключателем B_3 (либо B_4) и КЗ в линии высокой стороны (рис. 8). В условиях действия традиционного ABP на секционном выключателе при кратковременном отключении источника любой из секций полный цикл «отключения — включения», связанный с восстановлением питания, в лучшем случае длится не менее $(0,2...\ 0,3)$. Данный промежуток состоит из суммы времен включения секционного выключателя, действия устройства традиционного ABP и выключателя (B_1 либо B_2), ликвидирующего последствия аварии. Еще больший перерыв питания будет наблюдаться при КЗ на высокой стороне источников питания, отключаемых даже без выдержек времени.

Для уменьшения времени перерыва питания на каждую секцию и секционный выключатель устанавливаются следующие устройства (рис. 8):

- а) ФНОП фильтры напряжения обратной последовательности, определяющие факт возникновения несимметричных КЗ;
- б) $P_{\infty p}$ датчики, фиксирующие перетоки активной мощности (для выявления случаев: отключения B_3 либо B_4 , K3 непосредственно на секции 1 либо 2, K3 в линии высокой стороны);
- в) U_6 датчик биений напряжений между секциями (анализирует напряжения биений между секциями 1 и 2);
- г) U датчики напряжений, блокирующие импульсы управления тиристорного выключателя при КЗ на секциях 1 либо 2;



- д) B_p установка задержки времени (для отстройки от кратковременных срабатываний датчиков: U_6 , $\Phi HO\Pi$, $P_{oбp}$, перекосов и т. п.). Включение тиристорного выключателя ABP осуществляется логическими схемами, выдающими сигналы на подачу и блокировку импульсов управления. В качестве логических функций используются данные, получаемые от 4 из перечисленных устройств:
 - логическая схема «И» (сигнал на подачу импульсов) сортируется первыми тремя устройствами;
 - логическая схема «НЕ» (запрет на подачу импульсов) отдается четвертым датчиком.

Рассмотрим характерные случаи работы TABP с описанными системами управления. При исчезновении питания (отключение выключателей B_3 либо B_4 .) происходит срабатывание датчика U_6 на секционном выключателе. Логические схемы «И» и «НЕ» формируют сигналы на запуск системы подачи импульсов управления тиристорным выключателем ABP. После включения тиристорного выключателя производится периодическое измерение направления перетоков активной мощности с помощью датчиков $P_{oбp}$ определения ввода, на котором необходимо отключать выключатель (B_1 либо B_2).

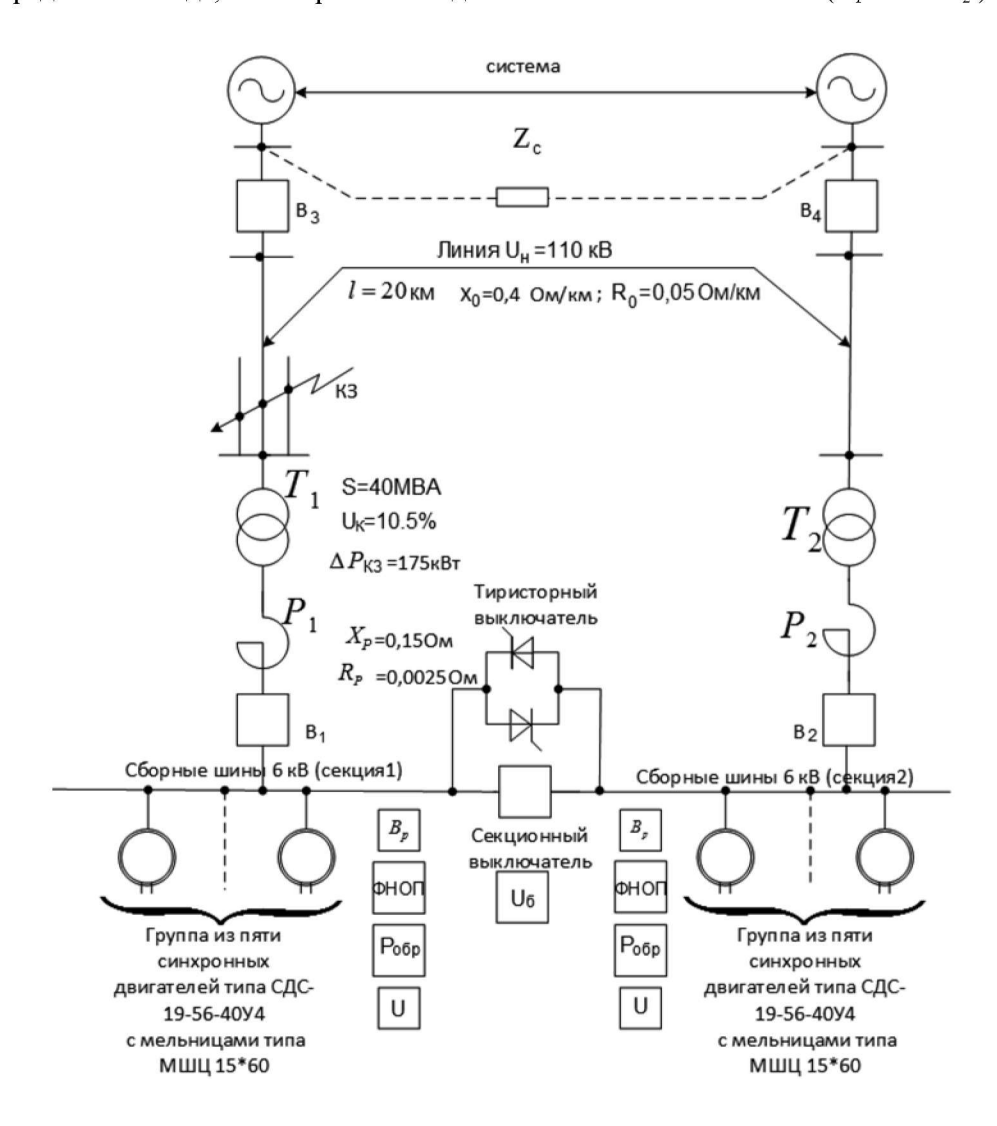


Рис. 8. Исследуемая схема СЭС с ТАВР



При возникновении трехфазного КЗ на высокой стороне источника (например, первой секции, рис. 8) срабатывают датчики $P_{oбp}$ и U_{6} (при несимметричном КЗ дополнительно срабатывает датчик ФНОП). Все это приводит к запуску системы подачи импульсов управления тиристорным выключателем. В дальнейшем возможны следующие варианты коммутаций. АВР на секционном выключателе ориентируется на предварительное отключение КЗ (сначала выключателем B_{3} , а затем B_{1}). Только после этого подается сигнал на запуск включения секционного выключателя.

Одним из путей решения этой задачи в условиях применения ТАВР является его подключение непосредственно после выдачи логическими схемами «И» и «НЕ» сигналов на запуск системы подачи импульсов управления. В этот же момент подаются команды на осуществление коммутации межсекционных выключателей: отключение В₁ и включение секционного (рис. 8). С учетом наихудшей фазы КЗ, работы приводов, интервала времени действия релейной защиты и автоматики, принято, что В₁ отключается спустя 0,21с после возникновения аварии. Время включения секционного выключателя принято равным 0,215 с. В качестве расчетных были выбраны следующие условия: фаза трехполюсного КЗ, происходящего на высокой стороне трансформатора в конце линия электропередачи, равна 30°. Двигатели снабжены статическими возбудителями с краткостью форсировки напряжения возбуждения Uf, не превышающей 1,4. Секционные ключи ТАВР нормально разомкнуты. В режиме исчезновения питания отключение ВЗ осуществляется без выдержки времени спустя период промышленной частоты после начала расчета.

На рис. 9, 10 приведены расчетные осциллограммы процессов, полученные для режима исчезновения питания в СЭС с тиристорным ABP. Присоединение TABP сопровождается несинхронным включением и срабатыванием форсировки, которая на данном этапе способствует сохранению двигателями устойчивой работы двигателя на первом качании. Максимальный угол $\delta_o = 33^\circ$. Он превышает номинальный не более чем на 25 %. Наибольшая величина колебании электромагнитного момента в процессе качаний составляет 5,8 от номинального и не превышает допустимой для данного двигателя (исходя из наихудших условий самозапуска). Токи двигателей не превышают пусковых. Максимальные амплитудные значения токов через ТВ составляют 15 кA, а средний действующий коммутируемый ток находится в пределах 7...10 кA.

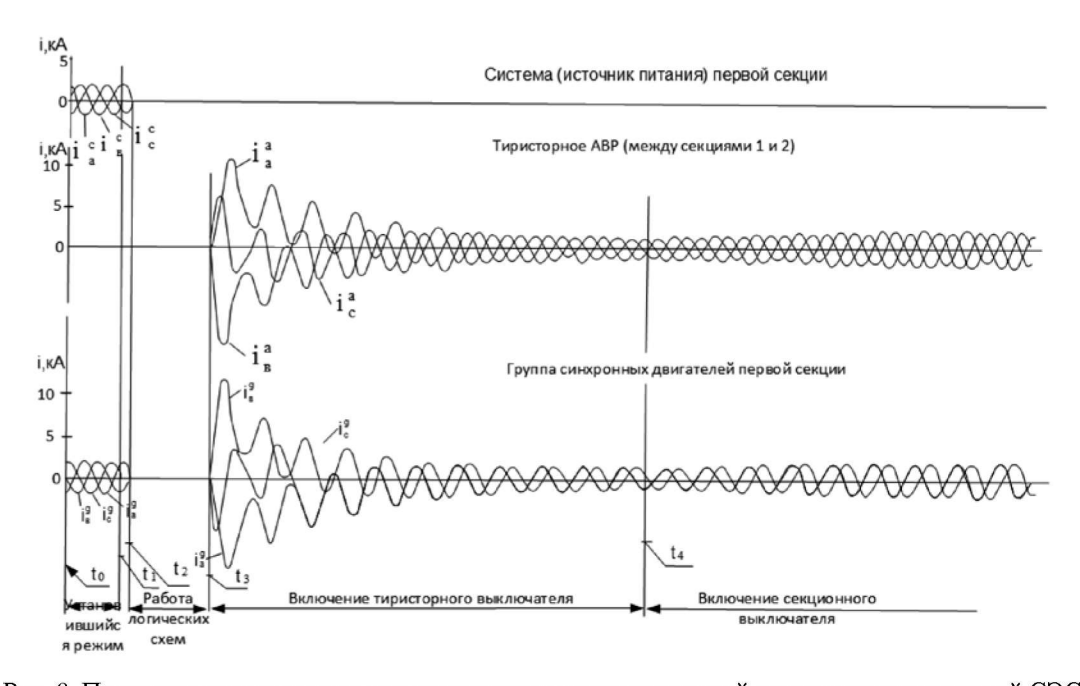


Рис. 9. Процессы, возникающие при исчезновении питания первой секции двухсекционной СЭС и действии ТАВР



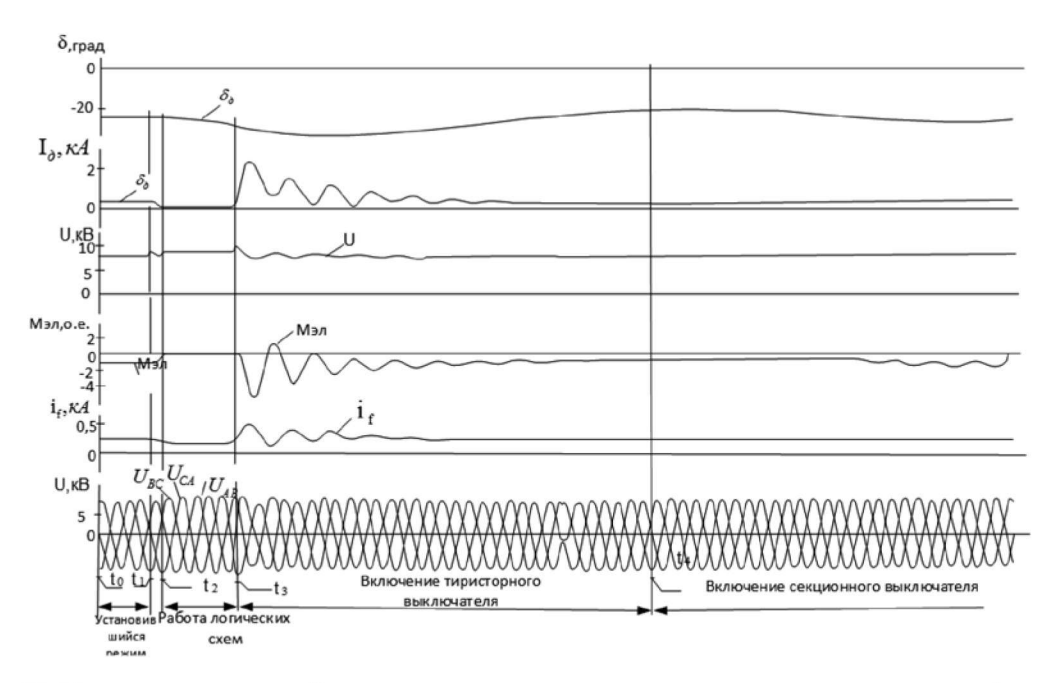


Рис. 10. Процесс, протекающий в синхронных двигателях при исчезновении питания первой секции двухсекционной СЭС и действии TABP

Исследования режима трехфазного КЗ в конце линии высокой стороны источника питания секции 1 (рис. 8) показали следующие результаты. На первом качании устойчивость двигателей сохраняется без применения дополнительных мероприятий по её обеспечению, максимальный угол $\delta_{\phi} = 70^{\circ}$ превышает исходный приблизительно в 3 раза. Скольжение ротора при данном угле не успевает достигнуть величины (0,05), при которой необходимо включать гашение поля и осуществлять его разгрузку. Поэтому очевидны преимущества от применения ТАВР. Электромагнитный момент и токовые перегрузки двигателей в процессе ликвидации аварии и действия АВР не превышают допустимых, рекомендованных для синхронных двигателей исходя из наихудших условий повторного включения. Поэтому нет необходимости применения специальных мероприятий по укрепление демпферных обмоток. Самозапуск успешен.

Литература

- 1. Рубашов Г. М. Бесконтактная аппаратура в системах электроснабжения. Л.: Энергоатомиздат, Ленингр. отд-ние, 1990. 96 с.
- 2. Демин Ю. И. Моделирование электрических систем с помощью булевой алгебры // Вестник СевКавГТУ. Ставрополь: СевКавГТУ. 2012. № 4. С. 32–36.
- Демин Ю. И. Определение расчетных условий для исследования системы электроснабжения 6–10 КВ с бесконтактным распредустройством // Материалы XIV Междунар. семинара «Физико-математическое моделирование систем». Воронеж: ГОУВПО «Воронежский гос. техн. университет», 2015. Ч. 1. С. 65–72.
- 4. Асинхронный электропривод с тиристорными коммутаторами / Л. П. Петров и др. М.: Энергия, 1970. 128 с.